

**Б. И. БЕЛЕНЬКИЙ**  
(Ленинград)

**К РАСЧЕТУ РЕЖИМА ПЕРЕКЛЮЧАЮЩИХ ТРАНЗИСТОРОВ,  
ПРИМЕНЯЕМЫХ В ДИСКРЕТНЫХ ДЕЛИТЕЛЯХ  
ЦИФРО-АНАЛОГОВЫХ ПРЕОБРАЗОВАТЕЛЕЙ (ЦАП)**

Составляющая погрешности ЦАП, обусловленная остаточными параметрами транзисторных ключей в режиме насыщения, в значительной степени зависит от управляющего тока ( $I_6$ ). В связи с этим ставится задача отыскать такое («оптимальное») значение  $I_{6\text{опт}}$ , при котором погрешность минимальна. При этом оптимизируются различные параметры, что, естественно, приводит к различным значениям  $I_{6\text{опт}}$ . Так, в [1]  $I_{6\text{опт}}$  определяется из условия

$$\frac{\partial U_{\text{ек}}}{\partial I_6} = 0, \quad (1)$$

где  $U_{\text{ек}}$  — падение напряжения на переходе эмиттер — коллектор открытого и насыщенного ключа. В инверсном включении

$$U_{\text{ек}} = -\frac{\varphi_T}{\beta_N + 1} + \varphi_T \frac{\beta_N + \beta_I + 1}{\beta_I(\beta_N + 1)} \frac{I_e}{I_6} + I_3(r_e + r_k) - I_6 r_k, \quad (2)$$

где  $\varphi_T$  — температурный потенциал;  $\beta_N$ ,  $\beta_I$  — статические коэффициенты усиления транзистора соответственно в нормальном и в инверсном включении;  $I_e$  — ток эмиттера;  $r_e$ ,  $r_k$  — объемные сопротивления эмиттерной и коллекторной областей.

Из (1) и (2), предполагая, что  $\beta_N$  и  $\beta_I$  не зависят от  $I_6$ , можно получить [1]

$$I'_{6\text{опт}} = \sqrt{\frac{I_e \varphi_T (\beta_N + \beta_I + 1)}{r_k \beta_I (\beta_N + 1)}}. \quad (3)$$

(Заменяя в (2) и (3) соответствующие индексы «к» и «к», «N» и «I», можно получить формулы для нормального включения.)

В [2] под  $I_{6\text{опт}}$  понимается такое значение  $I_6$ , при котором

$$\frac{\partial U_{0I}}{\partial T} = 0, \quad (4)$$

где

$$U_{0I} = U'_{0I} - I_6 r_k = -\frac{\varphi_T}{\beta_N + 1} - I_6 r_k. \quad (5)$$

Из (4) и (5) следует, что

$$I''_{6\text{опт}} = \frac{U'_{0I}}{r_k} - \frac{\left(\lambda_\beta - \frac{1}{T}\right)}{\lambda_{r_k}}, \quad (6)$$

где

$$\lambda_\beta = \frac{\partial \beta_N}{\partial T} \frac{1}{\beta_N + 1}; \quad \lambda_{r_k} = \frac{\partial r_k}{\partial T} \frac{1}{r_k};$$

$T$  — абсолютная температура.

Значения  $I''_{6\text{опт}}$ , определенные для некоторых отечественных транзисторов, приведены в [3, 4].

Авторы [5] считают, что при определении  $I_{6\text{опт}}$  в области насыщения «наиболее целесообразно в качестве критерия режима взять произведение  $Q = U_0 r_{\min} M\Omega \cdot \text{ом}$ , минимальное значение которого будет характеризовать оптимальный выбор  $r_{\min}$  и  $U_0$ , одновременно».

Учитывая (5) и принимая во внимание, что [6]

$$r_{0I} = \frac{\varphi_T}{I_6} \frac{\beta_N + \beta_I + 1}{\beta_I(\beta_N + 1)} + r_e + r_k, \quad (7)$$

из условия

$$\frac{\partial Q}{\partial I_6} = \frac{\partial}{\partial I_6} (U_{oI} r_{oI}) = 0 \quad (8)$$

следует

$$I_{6, \text{опт } I}'' = \frac{\varphi_T}{\beta_N} \sqrt{\frac{\beta_N + \beta_I + 1}{r_k (r_k + r_s)}}. \quad (9)$$

При выводе формул (3), (6) и (9)  $\beta_N$  и  $\beta_I$  считались не зависящими от  $I_6$ , хотя эта зависимость достаточно сильно выражена [6]. Однако учет этой зависимости приводит к алгебраическим уравнениям высоких степеней, которые в радикалах не решаются. Кроме того, расчет  $I_{6, \text{опт}}$  по приведенным формулам практически трудно выполним из-за большого разброса входящих в них параметров транзисторов. Следует отметить также, что критерий, предложенный в [5], лишен физического смысла.

Этих трудностей можно избежать, если при выводе формул для расчета  $I_{6, \text{опт}}$  использовать зависимости средних значений (математических ожиданий) остаточных параметров транзисторов ( $\bar{U}_{oI}$ ,  $\bar{r}_{oI}$ ) от  $I_6$ , полученные экспериментально.

Например, при оптимизации математического ожидания  $U_{\text{эк}} (\bar{U}_{\text{эк}})$  (2) с учетом (5) и (7) можно привести к виду

$$\bar{U}_{\text{эк}} = \bar{U}_{oI}(I_6) + I_s \bar{r}_{oI}(I_6). \quad (10)$$

Входящие в (10) зависимости можно представить следующим образом:

$$\bar{U}_{oI} = a I_6^{-2} - b I_6^{-1} + c + d I_6; \quad (11)$$

$$\bar{r}_{oI} = e I_6^{-1} + f, \quad (12)$$

причем  $d = \bar{r}_k$ , а  $f = \bar{r}_k + \bar{r}_s$ .

В результате получаем уравнение

$$I_6^3 + \frac{b - e I_s}{d} I_6 - 2 \frac{a}{d} = 0, \quad (13)$$

корни которого в зависимости от величины  $I_s$  равны:

a) при  $I_s < \frac{b}{e}$

$$I_{6, \text{опт } I} = 1,16 \Theta^{1/2} \sinh \delta / 3, \quad (14a)$$

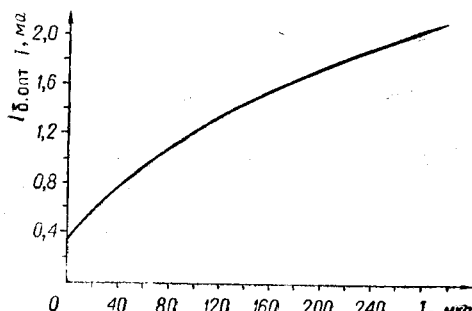
где  $\Theta = \frac{b - e I_s}{d}$ ;  $\sinh \delta = 5,2 \frac{a}{d} \Theta^{-3/2}$ ,

$$b) \text{ при } \frac{b}{e} < I_s < \frac{3a}{e} \sqrt{\frac{d}{b}}$$

$$I_{6, \text{опт } I} = 1,16 \Theta^{1/2} \cosh \delta / 3, \quad (14b)$$

где

$$\cosh \delta = 5,2 \frac{a}{d} \Theta^{-3/2},$$



$$b) \text{ при } I_s \geq \frac{3a}{e} \sqrt{\frac{d}{b}}$$

$$I_{6, \text{опт } I} = 1,16 \Theta^{1/2} \cos \delta / 3, \quad (14b)$$

$$\text{где } \cos \delta = 5,2 \frac{a}{d} \Theta^{-3/2}.$$

В последнем случае с погрешностью менее 10% можно пользоваться формулой

$$I_{6, \text{опт } I} = \sqrt{\frac{e}{d}} I_s,$$

которая совпадает с (3) по структуре.

При исследовании транзисторов П30 (около 200 шт.) были получены зависимости  $\bar{U}_{oI}$  и  $\bar{r}_{oI}$  от  $I_6$  [7], которые методом равных сумм [8] были аппроксимированы функциями:

$$\bar{U}_{oI} = 4,66 \cdot I_6^{-2} - 9,32 \cdot I_6^{-1} + 240 + 140 \cdot I_6 \text{ мкв, ма;}$$

$$\bar{r}_{oI} = 2,05 \cdot I_6^{-1} + 0,34 \text{ ом, ма.}$$

В результате решения (13) для транзисторов П30 была получена зависимость  $I_{6, \text{опт}} = f(I_3)$ , представленная на рисунке.

## ЛИТЕРАТУРА

1. В. И. Бордэ. Расчет оптимальных режимов и точности работы транзисторных переключателей для цифро-аналоговых преобразователей.— Автоматический контроль и методы электрических измерений (Труды IV конференции, 1962 г.), т. I. Новосибирск, РИО СО АН СССР, 1964.
2. Т. С. Verster. Silicon Planar Epitaxial Transistors as Fast and Reliable Low-Level Switches. IEEE Trans. on Electron. Devices, May, 1964, ED-11, № 5.
3. М. М. Ладыженский. Транзисторные переключатели малых напряжений. ЛДНТП, 1965.
4. М. М. Ладыженский. Исследование и сравнительный анализ транзисторных ключей с различными принципами управления.— Автометрия, 1965, № 4.
5. В. А. Брондукова, В. Е. Наконечный. Схемы управления транзисторными двухпозиционными ключами в звездообразном потенциометре.— Автометрия, 1967, № 4.
6. В. И. Анисимов, А. П. Голубев. Транзисторные модуляторы. Л., «Энергия», 1964.
7. Б. И. Беленский. Исследование переключающих транзисторов, применяемых в прецизионных дискретных делителях цифровых вольтметров.— В сб. «Коммутация и преобразование малых напряжений». ЛДНТП, 1968.
8. П. В. Мелентьев. Приближенные вычисления. М., Физматиз, 1962.

Поступило в редакцию  
24 января 1968 г.

УДК 621.317.361

Ю. Я. СКАЧКОВ, С. А. ТИМОХИН  
(Новосибирск)

## СЧЕТНО-ИМПУЛЬСНЫЙ МЕТОД ИЗМЕРЕНИЯ НИЗКОЙ ЧАСТОТЫ

В настоящее время в системах автоматического контроля и измерения, использующих частотные датчики, широко применяются счетно-импульсные методы определения частоты сигналов.

При низких значениях измеряемой частоты  $f$  находит применение метод, основанный на подсчете числа импульсов  $N$  образцового генератора в интервале времени, равном периоду  $T$  исследуемого сигнала. При этом

$$f = f_0 \frac{1}{N}, \quad (1)$$

где  $f_0$  — частота образцового генератора.

Метод неудобен тем, что, как следует из (1), между измеряемой частотой и числом отсчитываемых импульсов имеется обратно пропорциональная зависимость. Этот недостаток может быть устранен применением дополнительных функциональных преобразователей [1—4], однако это значительно усложняет аппаратуру.

В том случае, когда диапазон изменения частоты сравнительно небольшой ( $m = \frac{f_{\max}}{f_{\min}} \ll 2$ ), что характерно для многих известных частотных датчиков [5], может